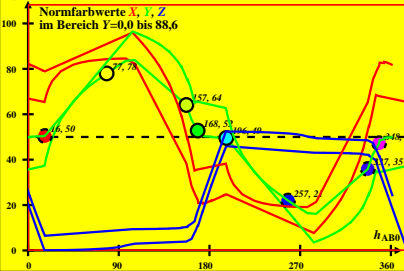


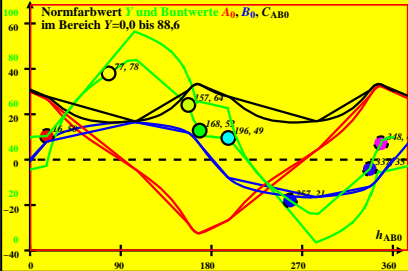
**CIE-P35-Daten von -Ostwald-Farben von maximalem Buntwert  $C_{AB}$**   
 $Y_w=88,6$ ,  $Y_m=520\_770$ ,  $B_m=380\_520$ , 2 Berechnungsmethoden



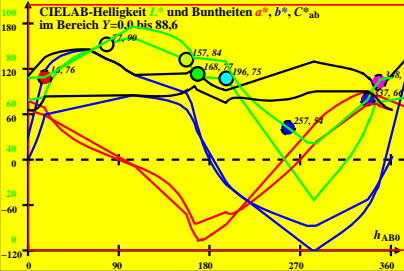
DG211-1 A\_1

DG210-7R

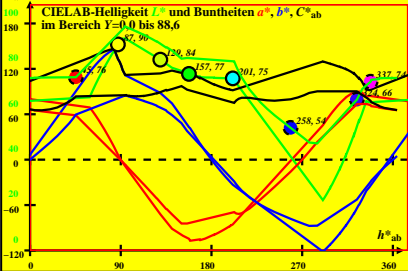
**CIE-P35-Daten von -Ostwald-Farben von maximalem Buntwert  $C_{AB}$**   
 $Y_w=88,6, Y_m=520\_770, B_m=380\_520, 2$  Berechnungsmethoden



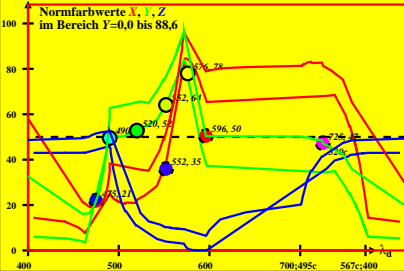
**CIE-P35-Daten von -Ostwald-Farben von maximalem Buntwert  $C_{AB}$**   
 $Y_w=88,6, Y_m=520\_770, B_m=380\_520, 2$  Berechnungsmethoden



**CIE-P35-Daten von -Ostwald-Farben von maximalem Buntwert  $C_{AB}$**   
 $Y_w=88,6, Y_m=520\_770, B_m=380\_520, 2$  Berechnungsmethoden

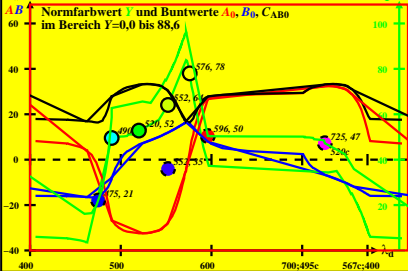


**CIE-P35-Daten von -Ostwald-Farben von maximalem Buntwert  $C_{AB}$**   
 $Y_w=88,6, Y_m=520\_770, B_m=380\_520, 2$  Berechnungsmethoden



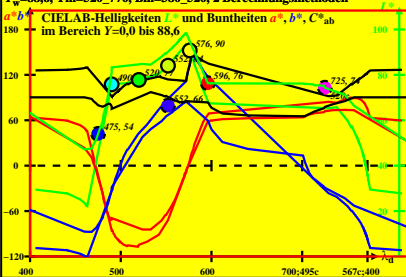
**CIE-P35-Daten von -Ostwald-Farben von maximalem Buntwert  $C_{AB}$**   
 $Y_w=88,6, Y_m=520\_770, B_m=380\_520, 2$  Berechnungsmethoden

**AB** Normfarbwert  $Y$  und Buntwerte  $A_0, B_0, C_{AB0}$   
 im Bereich  $Y=0,0$  bis  $88,6$



**CIE-P35-Daten von -Ostwald-Farben von maximalem Buntwert  $C_{AB}$   
 $Y_w=88,6$ ,  $Y_m=520\_770$ ,  $B_m=380\_520$ , 2 Berechnungsmethoden**

**$a^*b^*$**  CIELAB-Helligkeiten  $L^*$  und Buntheiten  $a^*$ ,  $b^*$ ,  $C^*_{ab}$   
 im Bereich  $Y=0,0$  bis  $88,6$



**CIE-P35-Daten von -Ostwald-Farben von maximalem Buntwert  $C_{AB}$**   
 $Y_w=88,6, Y_m=520\_770, B_m=380\_520, 2$  Berechnungsmethoden

